

О НЕЛИНЕЙНОЙ СТАДИИ ПАРАМЕТРИЧЕСКОГО ВОЗБУЖДЕНИЯ ВОЛН В ПЛАЗМЕ

В.Е.Захаров, С.Л.Мушер, А.М.Рубенчик

Исследуются спектры лэнгмюровской турбулентности возбуждающейся высокочастотным электрическим полем. Показано, что при больших амплитудах внешнего поля распределение колебаний существенно нестационарно. Это приводит к осцилляторному характеру поглощения энергии в плазме.

1. При наложении на однородную изотропную плазму периодического электрического поля $E = E_0 \cos \omega_0 t$ ($\omega_0 \gg \omega_p$) достаточно большой амплитуды происходит параметрическое возбуждение плазменных волн [1 – 5]. При $T_i \ll T_e$ наиболее сильная параметрическая неустойчивость приводит к нарастанию волн вблизи поверхности в k -пространстве, описываемой уравнением

$$\omega_0 = \omega_k + s |k| . \quad (1)$$

Здесь $\omega_k = \omega_p (1 + 3/2 k^2 r_D^2)$ – закон дисперсии лэнгмюровских волн, $s = \sqrt{T_e/M}$ – скорость ионного звука. При не слишком больших амплитудах поля $\left(\frac{E_0^2}{8\pi n T_e} < \sqrt{\frac{m}{M}} k^* r_D \left(\frac{\gamma_s}{s k^*} \right)^2 \right)$, γ_s – затухание ионного звука, $k_{dif} \ll k^* \ll \frac{1}{r_D}$ – характерное волновое число возбуждаемых волн, $k_{dif} = \sqrt{(m/M)(1/r_D)}$ – основную роль в нелинейном ограничении неустойчивости играет индуцированное рассеяние лэнгмюровских волн на ионах плазмы. Этот процесс приводит к потоку энергии волн в область малых волновых чисел. При не слишком больших инкрементах параметрической неустойчивости $\Gamma_k < \gamma_d (k^*/k_{dif})$ диссипация энергии

лэнгмюровских волн обеспечивается за счет линейного (столкновительного) их затухания γ_L , при $\Gamma_k \gg \gamma_L (k^* / k_{dif})$ диссипация энергии происходит в области малых волновых чисел и обеспечивается нелинейным диссиликционным механизмом – коллапсом лэнгмюровских волн [6]. В этом случае при $k > k^*$ существует область инерционного переноса энергии волн.

Угловая анизотропия инкремента неустойчивости Γ_k приводит к тому, что спектр лэнгмюровских волн является квазиодномерным, и имеет вид симметричных "струй", вытянутых в направлении E_0 (для задач с характерным масштабом $\Delta k \gg k_{dif}$ это было доказано в работе [4]). Это позволяет ограничиться рассмотрением одномерной задачи. В одномерном симметричном случае кинетическое уравнение для волн имеет вид

$$\frac{\partial n_k}{\partial t} = n_k \left\{ \Gamma_k + \int_0^\infty T(k - k') n_{k'} dk' - \gamma_L \right\} + \gamma_L n_0. \quad (2)$$

Здесь $\Gamma_k = \frac{\omega_p E_0^2}{8 \pi n T} \phi(\xi)$ – инкремент неустойчивости, $T(\xi) = \frac{\omega_p^2}{2 n_0 T} \phi(\xi/2) -$ – матричный элемент индуцированного рассеяния. $\phi(\xi) = -\phi(-\xi)$ – безразмерная структурная функция, такая, что $T(k - k')$ имеет резкие экстремумы при $k - k' = \pm k_{dif}$. При $T_i/T_e \ll 1$

$$\phi(\xi) = \text{Im} \frac{1}{4 \frac{T_i}{T_e} \xi^2 - 1 + \sqrt{\frac{2 \pi m T_i}{M T_e}} \xi}$$

n_0 – амплитуда теплового шума.

2. Уравнение (2) численно моделировалось на ЭВМ, при этом на интервале от $k = k^*$ до $k = 0$ помещалось 100 точек, в области первых десяти точек включалось сильное линейное затухание, гарантировавшее поглощение конденсируемой в области малых волновых чисел энергии. Численный эксперимент показал, что во всех случаях одномерный спектр представляет собой цепочку узких ($\Delta k \ll k_{dif}$) пиков, расположенных на расстояниях k_{dif} друг от друга¹⁾. Ширина пиков уменьшается с уменьшением T_i/T_e . При этом можно выделить два случая. При не слишком больших инкрементах неустойчивости $\Gamma/\gamma_L < k^*/k_{dif}$ происходит установление стационарного состояния, представляющего собой линейно убывающую до нуля последовательность пиков (рис. 1). Этот результат согласуется с известными результатами Обермана, Валео и Перкинса [2, 5]. Время установления стационарного состояния обратно пропорционально уровню шума n_0 и имеет порядок $(1/\tau) \sim \gamma_L (n_c/n_0)$, $n_c \sim \Gamma/T$ – характерная амплитуда параметрических волн. При больших превышениях над порогом неустойчивости ($\Gamma/\gamma_L > k/k_{dif}$) установления ста-

¹⁾ Идея о возможности существования спектров такого типа была впервые высказана в работе Кингсеппа и Рудакова [7].

ционарного состояния не происходит, вместо этого наблюдается периодический по времени процесс релаксационного типа, несколько последовательных по времени состояний которого изображены на рис. 2. Энерговыделение в зоне $k \sim k^*$ при этом происходит импульсами, которые затем распространяются в область малых k по цепочке пиков в виде локализованных возбуждений последней. Максимальная амплитуда пиков имеет порядок $n_c \ln(n_c/n_o \Delta k) \Delta k$ — ширина пика, временной интервал между пиками — порядок $\sim 1/\gamma_L \ln(n_c/n_o \Delta k)$. Скорость распространения импульсов имеет порядок $v \sim \Gamma_k k_{dif}$ и слабо зависит от амплитуды шума.

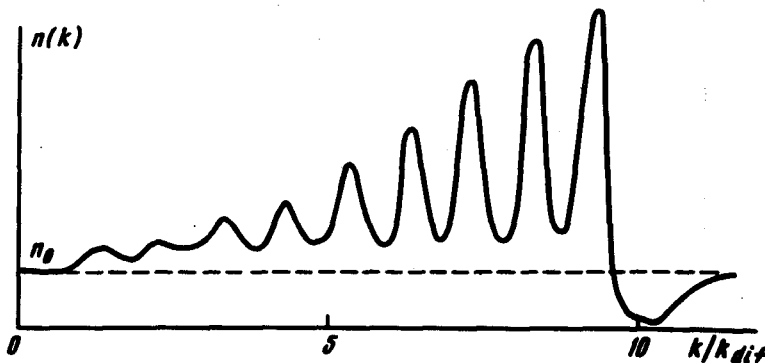


Рис. 1. Распределение n_k при больших временах, $\gamma_L t = 100$.
Превышение над порогом $\Gamma_k / \gamma_L = 4,37$

3. Существование дискретной цепочки пиков позволяет заменить уравнение (2) конечно-разностным уравнением, имеющим в безразмерных переменных f_n (f_n — амплитуда n -го пика) вид

$$\frac{\partial f_n}{\partial t} = f_n (f_{n+1} - f_{n-1} - \gamma_n + \Gamma_n) + C_n. \quad (3)$$

В инерционной области в пренебрежении линейным затуханием и шумом имеем

$$\frac{\partial f_n}{\partial t} = f_n (f_{n+1} - f_{n-1}). \quad (4)$$

Уравнение (4) имеет точное решение $f_n(t) = f(t - \frac{n}{s} - \tau_o)$, где

$$f(\xi) = f_o \left(1 + \frac{a}{1 - b + b \operatorname{ch} \gamma \xi} \right). \quad (5)$$

Здесь f_o , a , τ_o — произвольные параметры, a , s , b и γ функции от a и f_o ; при $a \gg 1$

$$\gamma = 2f_o a; \quad b^2 = \frac{1}{a}; \quad \frac{\gamma}{s} = \ln a.$$

Решение (5) представляет собой "солитон*", распространяющийся в k -пространстве по цепочке пиков. Нестационарный процесс, наблюдав-

шийся в численном эксперименте при $\Gamma / \gamma_d > k^* / k_{dif}$ можно представить себе как процесс последовательного "отщепления" солитонов из зоны неустойчивости k^* распространения их в инерционной области и "гибели" в области малых волновых чисел. Скорость распространения солитонов $v \sim 2k_{dif} \Gamma / \ln \ln (n_c / n_0 \Delta k)$. Качественно такой же характер имеет и начальная стадия процесса установления стационарного состояния при $\Gamma / \gamma_d < k^* / k_{dif}$; однако в этом случае солитоны затухают, и останавливаются, не доходя до области малых k .

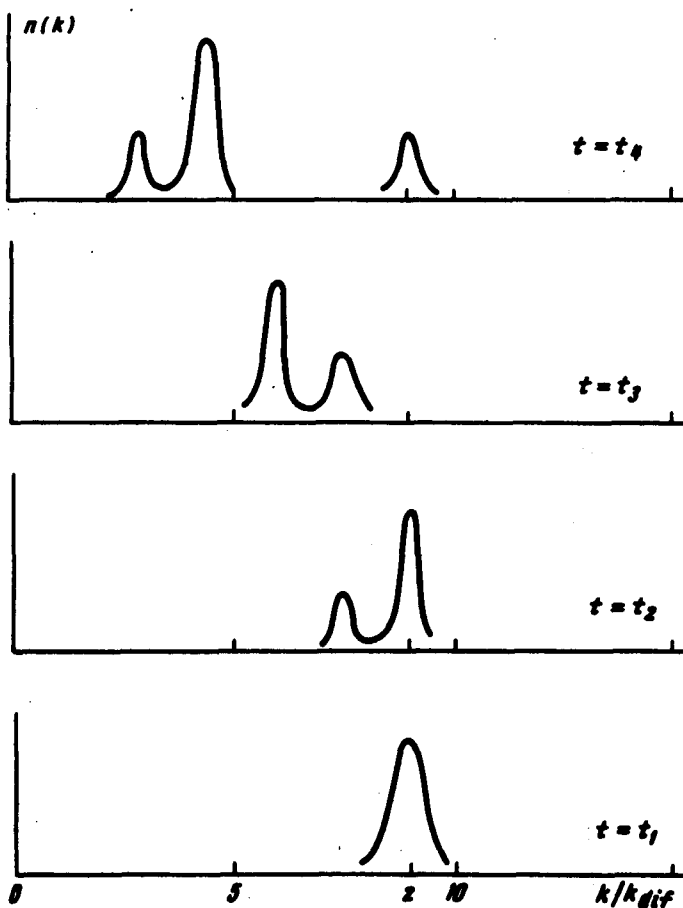


Рис. 2. Распределение n_k при бесконечном превышении над порогом ($\gamma_d = 0$) для последовательных моментов времени ($t = t_1, t_2, t_3, t_4$) в произвольных единицах. Точка $k = z$ соответствует максимуму инкремента

Заметим, что нестационарный характер спектра лэнгмюровских волн должен приводить в экспериментах по параметрическому возбуждению к осцилляциям поглощения энергии высокочастотного поля в плазме. При этом усредненный по времени поток энергии в плазму совпадает с полученным в [4] в рамках диффузационного приближения, и результаты настоящей работы можно рассматривать как исследование тонкой структуры спектров "струйного" типа.

Можно показать, что разностная система (4) является вполне интегрируемой, и что солитон (5) является устойчивым образованием.

Институт автоматики и электрометрии
Академии наук СССР
Сибирское отделение

Поступила в редакцию
4 декабря 1973 г.

Литература

- [1] Н.Е.Андреев, А.Ю.Кирий, В.П.Силин. ЖЭТФ, 57, 1024, 1969.
 - [2] E. Valeo, C. Oberman, F. W. Perkins. Phys. Rev. Lett., 28, 340, 1972.
 - [3] A. A. Galeev, R. Z. Sagdeev. Nuclear Fusion, 13, 603, 1973.
 - [4] Б.Н.Брейзман, В.Е.Захаров, С.Л.Мушер. ЖЭТФ, 64, 1297, 1973.
 - [5] C. Oberman. Доклад в Школе по физике плазмы, Тбилиси, 1972.
 - [6] В.Е.Захаров. ЖЭТФ, 62, 1745, 1972.
 - [7] А.С.Кингсеп, Л.И.Рудаков. ЖЭТФ, 58, 582, 1970.
-